

**EM505 - RESISTÊNCIA DOS MATERIAIS II**  
**Prof. Euclides Mesquita Neto e Marco Lúcio Bittencourt**  
**Exame - Data: 09/07/97**

**QUESTÃO 1 (Valor 3,0):** Para a viga simplesmente apoiada e solicitada por um momento concentrado  $M_c$  aplicado na extremidade C, tal como mostrado na Figura 1, determine: a) a rotação  $\theta_c$  no ponto de aplicação do momento através do princípio da conservação da energia; b) o deslocamento  $v_b$  no ponto central da viga utilizando o princípio das forças virtuais. Desconsidere a contribuição das tensões de cisalhamento nas deformações. Resolva o problema analiticamente.

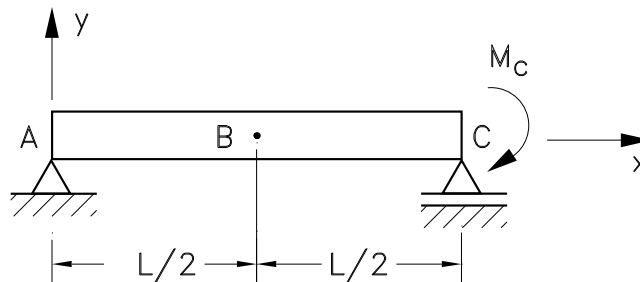


Figura 1: Questão 1.

**Solução da questão 1:**

Nesta questão, emprega-se o Método das Seções para a determinação dos esforços cortante e momento fletor na viga.

**rotação no ponto C :** a Figura 2 mostra o diagrama de corpo livre da viga, assim como o corte no trecho AC.

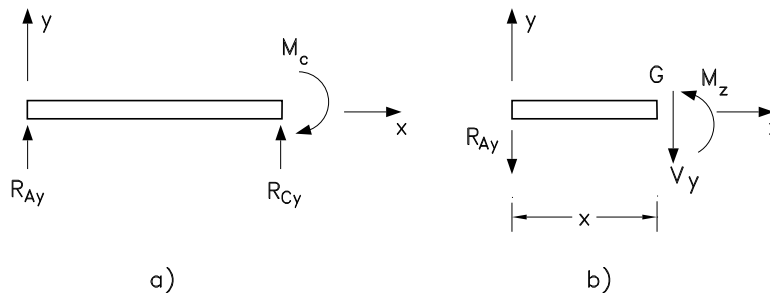


Figura 2: Viga: a) DCL; b) corte no trecho AC.

- Cálculo das reações de apoio

$$1) \sum F_y = 0 : R_{Ay} + R_{Cy} = 0 \rightarrow R_{Ay} = -R_{Cy}$$

$$2) \sum M_{zA} = 0 : R_{Cy}L - M_C = 0 \rightarrow R_{Cy} = \frac{M_C}{L} \rightarrow R_{Ay} = -\frac{M_C}{L}$$

- Equilíbrio das seções

**trecho AC** ( $0 < x < L$ ):

$$1) \sum F_y = 0 : \quad -R_{Ay} - V_y = 0 \rightarrow V_y = -\frac{M_C}{L} \rightarrow \begin{cases} V_y(x \rightarrow 0^+) = -\frac{M_C}{L} \\ V_y(x \rightarrow L^+) = -\frac{M_C}{L} \end{cases}$$

$$2) \sum M_{zG} = 0 : \quad R_{Cy}x - M_z = 0 \rightarrow M_z = -\frac{M_C}{L}x \rightarrow \begin{cases} M_z(x \rightarrow 0^+) = 0 \\ M_z(x \rightarrow L^+) = -M_C \end{cases}$$

- Cálculo da energia de deformação

$$U = \frac{1}{2E} \int_0^L \frac{M_z^2(x)}{I_z(x)} dx = \frac{1}{2EI_z} \int_0^L \left(-\frac{M_C}{L}x\right)^2 dx$$

$$U = \frac{1}{2EI_z} \frac{M_C^2}{L^2} \int_0^L x^2 dx = \frac{M_C^2}{2EI_z L^2} \frac{x^3}{3} \Big|_0^L = \frac{M_C^2 L}{6EI_z}$$

- Aplicação do teorema da conservação da energia

$$W = U \rightarrow \frac{1}{2} M_C \theta_C = \frac{M_C^2 L}{6EI_z} \rightarrow \theta_C = \frac{M_C L}{3EI_z}$$

**deflexão no ponto B** : a Figura 3 mostra o diagrama de corpo livre do sistema auxiliar, assim como os cortes nos trechos AB e AC.

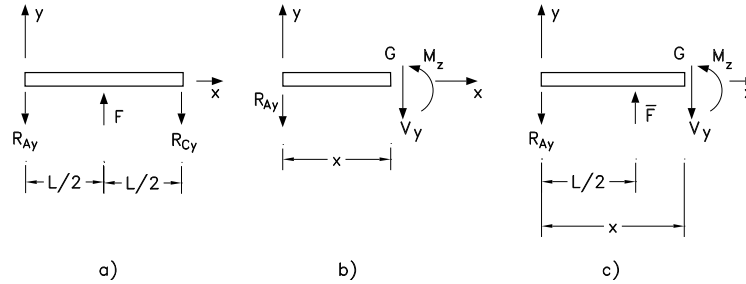


Figura 3: Sistema auxiliar: a) DCL; b) corte no trecho AB; c) corte no trecho BC.

- Cálculo das reações de apoio

$$1) \sum F_y = 0 : \quad -R_{Ay} + \bar{F} - R_{Cy} = 0 \rightarrow R_{Ay} + R_{Cy} = \bar{F}$$

$$2) \sum M_{zA} = 0 : \quad -\bar{F} \frac{L}{2} + R_{Cy} L = 0 \rightarrow R_{Cy} = \frac{\bar{F}}{2} \rightarrow R_{Ay} = -\frac{\bar{F}}{2}$$

- Equilíbrio das secções

**trecho AB** ( $0 < x < \frac{L}{2}$ ):

$$1) \sum F_y = 0 : \quad -R_{Ay} - V_y = 0 \rightarrow V_y = -\frac{\bar{F}}{2} \rightarrow \begin{cases} V_y(x \rightarrow 0^+) = -\frac{\bar{F}}{2} \\ V_y(x \rightarrow L^-) = -\frac{\bar{F}}{2} \end{cases}$$

$$2) \sum M_{zG} = 0 : \quad R_{Ay}x - M_z = 0 \rightarrow M_z = -R_{Ay}x - \frac{\bar{F}}{2}x \rightarrow \begin{cases} M_z(x \rightarrow 0^+) = 0 \\ M_z(x \rightarrow \frac{L}{2}^-) = -\frac{\bar{F}L}{4} \end{cases}$$

trecho BC ( $\frac{L}{2} < x < L$ ):

$$1) \sum F_y = 0 : \quad -R_{Ay} + \bar{F} - V_y = 0 \rightarrow V_y = -\frac{\bar{F}}{2} + \bar{F} \rightarrow V_y = \frac{\bar{F}}{2} \begin{cases} V_y(x \rightarrow \frac{L}{2}^+) = -\frac{\bar{F}}{2} \\ V_y(x \rightarrow L^-) = -\frac{\bar{F}}{2} \end{cases}$$

$$2) \sum M_{zG} = 0 : \quad R_{Ay}x - \bar{F}\left(x - \frac{L}{2}\right) + M_z = 0 \rightarrow M_z = -\frac{\bar{F}}{2}x - \bar{F}x - \bar{F}\frac{L}{2}$$

$$M_z = \frac{\bar{F}}{2}(x - L) \rightarrow \begin{cases} M_z(x \rightarrow \frac{L}{2}^+) = -\frac{\bar{F}L}{4} \\ M_z(x \rightarrow L^-) = 0 \end{cases}$$

- Aplicação do Princípio das Forças Virtuais

$$\mu \bar{F} v_B = \mu \left[ \int_0^{\frac{L}{2}} \frac{\bar{M}_z M_z(x)}{EI_z(x)} dx + \int_{\frac{L}{2}}^L \frac{\bar{M}_z M_z(x)}{EI_z(x)} dx \right]$$

$$\bar{F} v_B = \frac{1}{EI_z} \left[ \int_0^{\frac{L}{2}} \left( -\frac{\bar{F}x}{2} \right) \left( -\frac{M_c}{L}x \right) dx + \int_{\frac{L}{2}}^L \left( -\frac{\bar{F}}{2}(x - L) \right) \left( -\frac{M_c}{L}x \right) dx \right]$$

$$v_B = \frac{1}{EI_z} \left[ \frac{M_c}{2L} \int_0^{\frac{L}{2}} x^2 dx - \frac{M_c}{2L} \int_{\frac{L}{2}}^L x(x - L) dx \right]$$

$$v_B = \frac{1}{EI_z} \left[ \frac{M_c}{2L} \frac{x^3}{3} \Big|_0^{\frac{L}{2}} - \frac{M_c}{2L} \left( \frac{x^3}{3} - L\frac{x^2}{2} \right) \Big|_{\frac{L}{2}}^L \right]$$

$$v_B = \frac{1}{EI_z} \left[ \frac{M_c}{2L} \frac{L^3}{24} - \frac{M_c}{2L} \left( \frac{L^3}{3} - \frac{L^2}{2} - \frac{L^3}{3} + \frac{L^3}{8} \right) \right]$$

$$v_B = \frac{1}{EI_z} \left[ \frac{M_c L^2}{48} - \frac{M_c L^3}{2L} \left( \frac{8 - 12 - 1 + 3}{24} \right) \right]$$

$$v_B = \frac{1}{EI_z} \left[ \frac{M_c L^2}{48} - \frac{M_c L^3}{2L} \left( -\frac{2}{24} \right) \right] = \frac{1}{EI_z} \frac{3M_c L^2}{48} = \frac{M_c L^2}{16EI_z}$$

**QUESTÃO 1 (Valor 2,5):** Uma viga foi construída a partir de duas chapas de dimensão  $H \times t$  e de dois perfis U, como mostrado na Figura 4a). A junção das peças é feita com rebites de diâmetro  $d = 10,0mm$ . Os rebites estão colocados exatamente na linha que cruza o centro geométrico  $y_1$  do perfil U. Esta seção é utilizada na viga mostrada na Figura 4b), a qual está engastada numa extremidade e sujeita a uma força concentrada  $F = 120kN$  na outra extremidade. Sabe-se que o material dos rebites suporta uma tensão máxima de cisalhamento  $\tau_{max} = 35N/mm^2$ . Sob estas condições, pede-se qual o espaçamento homogêneo  $L_d$  entre os rebites, como mostrado na Figura 4b). Dados:  $H = 400mm$ ;  $t = 15mm$ . Dados geométricos do perfil U: distância da base até o centro geométrico da seção  $y_1 = 14,5mm$ ; área da seção transversal do perfil  $A = 35,4cm^2$ ; momento de inércia em relação ao eixo que passa pelo furo dos rebites  $I_{zz} = 83,24cm^4$ . Desprezar a retirada de material causada pelo furo do rebite.

**Solução da questão 2:**

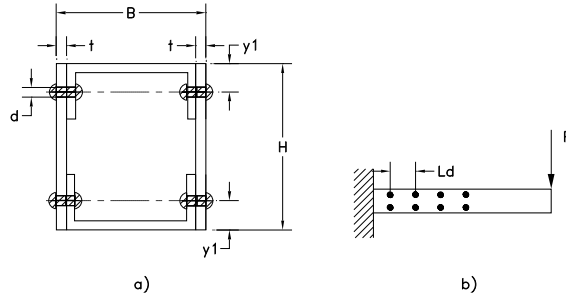


Figura 4: Questão 2: a) seção transversal; b) viga.

- Força de cisalhamento que o rebite pode suportar ( $F_d$ ) :

$$A_d = \frac{\pi d^2}{4} = \frac{\pi}{4} (1,0\text{cm}) = 0,7854\text{cm}^2$$

$$F_d = \tau_{\max} \cdot A_d = 35 \frac{\text{N}}{\text{mm}^2} \left( \frac{10\text{mm}}{1\text{cm}} \right)^2 0,7854\text{cm}^2 = 3500 \times 0,7854 = 2748,9\text{N}$$

- Cálculo do momento de inércia total ( $I_{zz}$ ) da seção

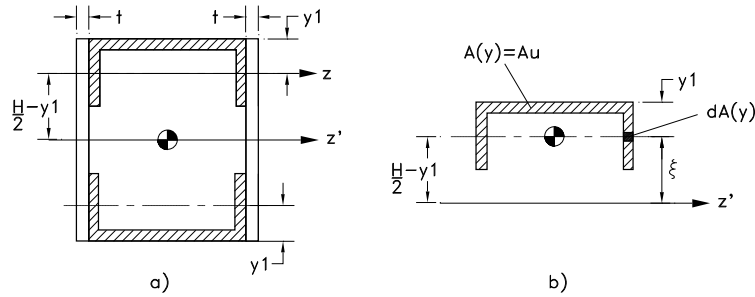


Figura 5: a) seção transversal; b) momento estático.

A Figura 5a) ilustra a seção transversal da viga com as dimensões necessárias para o cálculo do momento de inércia da seção. Observa-se que,

$$I_{zz} = 2 \times I_{zzC} + \left[ I_{zzu} + A_u \left( \frac{H}{2} - y_1 \right)^2 \right] \times 2$$

onde  $I_{zzC} = tH^3/12$  é o momento de inércia das chapas;  $I_{zzu}$  e  $A_u$  representam, respectivamente, o momento de inércia e a área da seção obtidos de uma tabela de perfis U. Logo,

$$I_{zz\tau} = 2x \frac{(1,5\text{cm})(40\text{cm})^3}{12} + 2x \left[ 83,24\text{cm}^4 + (35,4\text{cm}^2) (20\text{cm} - 1,45\text{cm})^2 \right]$$

$$I_{zz} = 2x 8000\text{cm}^4 + 2x \left[ 83,24\text{cm}^4 + (35,4)(18,55)^2 \right]$$

$$I_{zz} = 16000\text{cm}^4 + 2x [83,24 + 12181,23]\text{cm}^4 = 40528,94\text{cm}^4$$

- Fluxo de cisalhamento (força por unidade de comprimento) atuando em um perfil U:

$$q_c = -\frac{V_y}{I_{zz}} Q_z(y)$$

onde  $V_y = F = 120\text{KN} = 120000\text{N}$ .

- Cálculo do momento estático de área

Aqui testa-se o desbalanceamento de força normal atuando em uma secção do perfil U, como ilustrado na Figura 5b). Portanto,

$$Q_z = \int_{A(y)} \xi dA(\xi) = \int_{A_u} \xi dA_u = \left(\frac{H}{2} - y_1\right) A_u$$

$$Q_z = \left(\frac{H}{2} - y_1\right) A_u = (20 - 1,45) (35,4\text{cm}^2) = Q_z = 656,67\text{cm}^3$$

- Fluxo de cisalhamento, em todo o perfil U

$$q_c = -\frac{F}{I_{zz}} \cdot Q_z(y) = -\frac{120000\text{N}}{40528,94\text{cm}^4} 656,67\text{cm}^3 = 1944,3 \frac{\text{N}}{\text{cm}}$$

Metade deste fluxo deve ser suportado pelos rebites fixos em cada lado. Fazendo o balanço de forças:

$$F_d = \frac{q_c}{2} L_D \rightarrow L_D = \frac{2F_D}{q_c} = \frac{2 \times 2748,9\text{N}}{1944,3 \frac{\text{N}}{\text{cm}}} \rightarrow L_D = 2,828\text{cm}$$

**QUESTÃO 3 (Valor 2,5):** Uma chapa de aço foi submetida ao carregamento indicado na Figura 6a), sendo  $\sigma_a = -50\text{N/mm}^2$  e  $\sigma_b = 18\text{N/mm}^2$ . São ainda conhecidos  $L_a = 500\text{mm}$  e  $L_b = 250\text{mm}$ . O material falha para este carregamento segundo o critério da máxima energia de distorção. Neste caso, pede-se quais as componentes do tensor de tensão ao longo da diagonal da peça  $\sigma_c$ ,  $\sigma_d$ ,  $\tau$ , como indicado na Figura 6a). Pede-se também qual o momento torçor máximo  $M_t$  que este material pode suportar, quando for aplicado a uma barra de seção circular de diâmetro  $D = 22\text{cm}$  mostrada na Figura 6b).

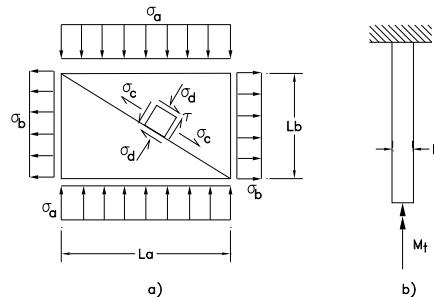


Figura 6: Questão 3: a) chapa solicitada; b) barra sob torção.

**Solução da questão 3:**

- Estado de tensão nos pontos da chapa:  $\sigma_{xx} = \sigma_b = 18N/mm^2$ ;  $\sigma_{yy} = \sigma_a = -50N/mm^2$ ;  $\tau_{xy} = 0$ .  
Tem-se então o seguinte tensor de tensões nos pontos da chapa,

$$[T] = \begin{bmatrix} 18 & 0 & 0 \\ 0 & -50 & 0 \\ 0 & 0 & 0 \end{bmatrix}$$

- Componentes de tensão ao longo da diagonal  
O ângulo  $\theta$  definido pela diagonal da chapa é dado por,

$$tg\theta = \frac{L_a}{L_b} = \frac{500}{250} = 2 \rightarrow \theta = 1,1011rad = 63,43^\circ$$

Portanto,

$$\cos(2\theta) = -0,60 \quad \sin(2\theta) = 0,80$$

A partir daí, as componentes de tensão são calculadas como,

$$\begin{aligned} \sigma_d &= \sigma'_{xx} = \frac{\sigma_{xx} + \sigma_{yy}}{2} + \frac{\sigma_{xx} - \sigma_{yy}}{2} \cos 2\theta + \tau_{xy} \sin 2\theta \\ &= \frac{18 - 50}{2} + \left(\frac{18 + 50}{2}\right) (-0,60) + 0,80 \times 0 = -16 - 20,4 = -36,4N/mm^2 \end{aligned}$$

$$\begin{aligned} \sigma_c &= \sigma'_{yy} = \sigma'_{xx}(\theta = \theta + 90^\circ) = \frac{\sigma_{xx} + \sigma_{yy}}{2} - \frac{\sigma_{xx} - \sigma_{yy}}{2} \cos 2\theta - \tau_{xy} \sin 2\theta \\ &= \frac{18 - 50}{2} - \left(\frac{18 + 50}{2}\right) (-0,60) + 0,80 \times 0 = -16 + 20,4 = 4,4N/mm^2 \end{aligned}$$

$$\begin{aligned} \tau &= \tau_{xy}' = -\frac{(\sigma_{xx} - \sigma_{yy})}{2} \sin 2\theta + \tau_{xy} \cos 2\theta \\ &= -\frac{(18 + 50)}{2}(0,80) + 0(-0,60) = -27,2N/mm^2 \end{aligned}$$

- Tensões principais:  $\sigma_1 > \sigma_2, \sigma_3 = 0$

Neste caso, o estado de tensão inicial na chapa está dado segundo as direções principais pois a tensão de cisalhamento é nula, restando apenas as componentes de tensão normal. Para comprovar tal fato, as tensões principais são dadas por,

$$\sigma_1 = a + R \quad \sigma_2 = a - R$$

onde,

$$a = \frac{\sigma_{xx} + \sigma_{yy}}{2} = \frac{(18 - 50)}{2} = -16$$

$$R = \sqrt{\left(\frac{\sigma_{xx} - \sigma_{yy}}{2}\right)^2 + \tau_{xy}^2} = \sqrt{\left(\frac{18 + 50}{2}\right)^2 + 0} = 34$$

Substituindo os valores obtidos vem que,

$$\sigma_1 = a + R = -16 + 34 = 18N/mm^2$$

$$\sigma_2 = a - R = -16 - 34 = -50N/mm^2$$

A energia de distorção associada ao estado de tensão na placa é dada por,

$$\begin{aligned} U_{dist} &= \frac{1}{12G} [(\sigma_1 - \sigma_2)^2 + (\sigma_1 - \sigma_3)^2 + (\sigma_2 - \sigma_3)^2] \\ U_{dist} &= \frac{1}{12G} [(68)^2 + (18)^2 + (50)^2] = \frac{7448}{12G} \end{aligned} \quad (1)$$

- Tensão de cisalhamento no eixo

$$\tau = -\frac{M_t d}{I_p 2} = -\frac{M_t d}{\frac{\pi d^4}{32} 2} = -\frac{16M_t}{\pi d^3} = -\frac{16}{\pi (22)^2} M_t = -4,78 \times 10^{-4} M_t [N/mm^2] \quad (2)$$

As tensões principais neste estado de cisalhamento puro são  $\sigma_1 = \tau$ ,  $\sigma_2 = -\tau$  e  $\sigma_3 = 0$ . Por sua vez, a energia de distorção associada é dada por,

$$\begin{aligned} U_{dist} &= \frac{1}{12G} [(\sigma_1 - \sigma_2)^2 + (\sigma_1 - \sigma_3)^2 + (\sigma_2 - \sigma_3)^2] \\ U_{dist} &= \frac{1}{12G} [(\tau + \tau)^2 + (-\tau - 0)^2 + (\tau - 0)^2] \\ U_{dist} &= \frac{1}{12G} [4\tau^2 + \tau^2 + \tau^2] = \frac{6\tau^2}{12G} \end{aligned} \quad (3)$$

Igualando as expressões (1) e (3) vem que,

$$\frac{7448}{12G} = \frac{6\tau^2}{12G} \rightarrow \tau = 35,23N/mm^2$$

Substituindo este valor de  $\tau$  em (2), obtém-se o valor do momento torçor  $M_t$ ,

$$35,23 = -4,78 \times 10^4 M_t \rightarrow M_t = 7,37 \times 10^4 Nmm = 73,7Nm$$

**QUESTÃO 4 (Valor 2,0):** Determine as forças normais ( $N_1, N_2$ ) atuando em cada parte da coluna bi-engastada ilustrada na Figura 7 e sujeita a uma força  $F = 1kN$ . As seções transversais das barras são circulares com diâmetros  $d_1 = 50mm$  e  $d_2 = 125mm$ . Dados:  $L_1 = 300mm$ ;  $L_2 = 400mm$ ;  $E_1 = 1,5E_2$ .

**Solução da questão 4:**

Para a solução deste problema, considera-se a os trechos AB e BC da barra, assim como o equilíbrio da interface entre os dois trechos, como ilustrado respectivamente nas Figuras 8a), c) e b).

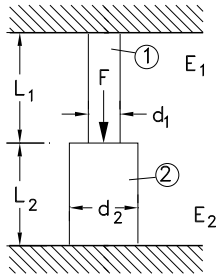


Figura 7: Questão 4.

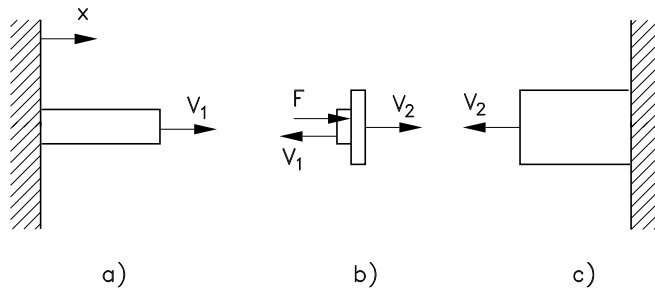


Figura 8: Barra: a) trecho AB; b) equilíbrio na interface; c) trecho BC.

**Barra 1** ( $0 < x < L_1$ ): neste caso tem-se como incógnitas as constantes de integração  $C_1, C_2$ , assim como a força normal  $N_1$  interface dos dois trechos.

- Equação diferencial:  $E_1 A_1 \frac{d^2 u_1}{dx^2} = 0$
- Condições de contorno
  - $u_1(x = 0) = 0$        $N_{x1}(x = L_1) = N_1$
  - primeira integração: força normal
 
$$N_{x1} = C_1$$
  - segunda integração: deslocamento axial
 
$$E_1 A_1 u_1 = C_1 x + C_2$$
- Determinação de  $C_1$  e  $C_2$ 

$$N_{x1}(x = L_1) = C_1 = N_1 \rightarrow C_1 = N_1$$

$$E_1 A_1 u_1(x = 0) = C_1(0) + C_2 = 0 \rightarrow C_2 = 0$$
- Equações finais
  - força normal:  $N_{x1}(x) = N_1$
  - deslocamento axial:  $u_1(x) = \frac{N_1}{E_1 A_1} x$

**Barra 2** ( $L_1 < x < L_2$ ): neste caso tem-se como incógnitas as constantes de integração  $D_1, D_2$ , assim como a força normal  $N_2$  interface dos dois trechos.

- Equação diferencial:  $E_2 A_2 \frac{d^2 u_2}{dx^2} = 0$



- Condições de contorno

$$u_2(x = L_1 + L_2) = 0 \quad N_{x2}(x = L_1) = N_2$$

- primeira integração: força normal

$$N_{x2} = D_1$$

- segunda integração: deslocamento axial

$$E_2 A_2 u_2 = D_1 x + D_2$$

- Determinação de  $D_1$  e  $D_2$

$$N_{x2}(x = L_1) = D_1 = N_2$$

$$E_2 A_2 u_2(x = L_1 + L_2) = D_1(L_1 + L_2) + D_2 = 0 \rightarrow D_2 = -N_2(L_1 + L_2)$$

- Equações finais

- força normal:  $N_{x2}(x) = N_2$

- deslocamento axial:  $u_2(x) = \frac{1}{E_2 A_2} [N_2 x - N_2(L_1 + L_2)]$

**Equilíbrio da descontinuidade** : considera-se o equilíbrio da força normal presente na interface dos trechos AB e BC, como mostrado na Figura 8b). A condição de equilíbrio é a seguinte:

$$\sum F_x = 0 : \quad -N_1 + F + N_2 = 0 \rightarrow N_1 - N_2 = F \quad (4)$$

**Condição de compatibilidade** : tem-se que os deslocamentos axiais  $u_1$  e  $u_2$  devem ser iguais. Logo,

$$u_1(x = L_1) = u_2(x = L_1)$$

Tomando as equações anteriores determinadas para os deslocamentos  $u_1$  e  $u_2$ , vem que,

$$\begin{aligned} \frac{N_1}{E_1 A_1} L_1 &= \frac{1}{E_2 A_2} [N_2 L_1 - N_2 L_1 - N_2 L_2] \\ N_1 &= -\frac{E_1 A_1 L_2}{E_2 A_2 L_1} N_2 = -k N_2 \end{aligned} \quad (5)$$

Substituindo (5) em (4) vem que,

$$-k N_2 - N_2 = F \rightarrow N_2(1 + k) = -F \rightarrow N_2 = -\frac{F}{1 + k}$$

Logo,

$$N_1 = -k \left( -\frac{F}{1 + k} \right) \rightarrow N_1 = \frac{k}{1 + k} F$$

Calculando k, tem-se que,

$$k = \frac{E_1 A_1 L_2}{E_2 A_2 L_1} = \frac{1,5 E_2 \left( \frac{\pi}{4} d_1^2 \right) L_2}{E_2 \left( \frac{\pi}{4} d_2^2 \right) L_1} = 1,5 \frac{d_1^2 L_2}{d_2^2 L_1} \rightarrow k = 1,5 \frac{50^2 \cdot 400}{125^2 \cdot 300} = 0,32$$

Portanto,

$$N_1 = \left( \frac{0,32}{1 + 0,32} \right) 1 = 0,24 \text{ KN}$$

$$N_2 = \left( -\frac{1}{1 + 0,32} \right) 1 = -0,76 \text{ KN}$$